

京大・防災研究所 正員 石原 安雄

同上 正員 小葉竹 重機

1. まえがき 雨水の流出機構に関する研究は従来より多大の成果が上げられてゐるが、それらの多くは、たとえば洪水現象のみに着目したものや、あるいは地下水流出のみを取扱ったものなどで、1降雨の全降雨量についてその流出過程を扱ったものは少ないようである。またタンクモデルのように工学的な実用性からいえば完成された理論もあるが、流出過程の解明という見地に立てば一時的に工学的な実用性から離れることもやむを得ないことであろう。こうした観点からわれわれは花崗岩風化地帯である琵琶湖野洲川五川の荒川試験地において水文観測を行ひ、流出過程の解明に努めていたが、本報告は前回の水収支で得られた結果と、主として1971年中に得られた観測結果とともに、水を常に流れとして扱ひながら、各流出成分とその発生場の初期損失量との関係などについて考察を加えたものである。

2. 観測結果とその考察

Fig. 1は1971年7月11日から9月16日までの観測結果である。図中棒グラフは雨量( $mm/hr$ )、実線は梅ヶ谷流量( $l/sec$ )、点描は山腹斜面上からの浸出強度( $l/hr$ )を表わす。梅ヶ谷は荒川試験地内の小流域で面積は $0.18 km^2$ 、形状はほぼ長方形であるが上流で河谷は二つに分れており最長流路長は約1kmである。山腹斜面上からの浸出量(以下では観測地下水といふ)は梅ヶ谷流域の山腹斜面中程の岩の割目から浸出してくる水を転倒研型流量計で測定したものである。この観測地下水は大きさは降雨があり、た場合ある期間一定値にたどり、このことは観測地下水中にいつまでもA層内を流れ早い中间流の成分は含まれていないことを示しており、観測値はA層以下を流れ地下流出成分だけで構成されていることになる。また観測値は降雨開始後30~40時間で定常値に達する。その定常値は降雨条件によって二段階に分れており、それぞれの値は図から大略 $50 l/hr$ と $70 l hr$ である。さらに観測値での減弱もステップ的に減少過程を示しており、その値は増加の場合と同じ値である。これらのことから観測地下水中の増加部分は二つの異なった場から発生していることが予想される。またこの二つの場における流れの性質を考えみると、流れはダルシー則に従う流れと考えられ、斜面に沿う流向をもち、しかも斜面勾配が大きい(勾配 $40^\circ$ )ことから水面勾配は無視でき、透水係数を $K$ 、斜面勾配を $\sin \theta$ 、空隙率を $\phi$ とすると $K \cdot \sin \theta / \phi$ の伝播速度を有する一種の kinematic wave 的な流れと考えられる。つぎにこの観測地下水はステップ的に減少過程を経た後は非常にゆるやかに減衰を示すようになり、一年を通じて観測値が0には至らない。観測地点から尾根までの距離は約30mであるから、この程度の距離で一年を通じて流量が0にならない流れは、増加部分を構成する斜面勾配の効果の卓越した流れとは異なる、た流れを考へる必要がある。斜面勾配の大きい傾斜地で水面勾配の卓越する流れを考えることは無理であるから、ここでは風化などによって出来た大小無数の岩の亀裂に入った雨水が、亀裂の連続した水みちを通って出て

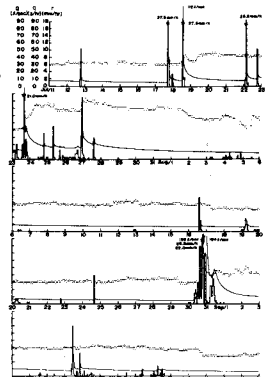


Fig. 1. 観測結果

くるものと考えてみる。ただしこれは不確かは仮定であるので、本報告ではこの最終的には地下水流出成分ともいふべき流れについては考察を加えていなさい。

### 3. 流出モデル

以上の観測地下水に実可する考察と、以前われわれが観測した表層付近を流れの流出成分の観測結果<sup>3)</sup>とから、荒川試験地の流出モデルを想定したのがFig. 2である。表層はわれわれが表層水と呼んでいふダルシー則で近似できることの発生する場であり、非常に大きな降雨の場合いわゆる表層流の発生する場でもある。I層は早い中间流の発生場であり、II、III層は観測地下水のうち二段階を形成する流出成分の発生場であり、流れの性質からいって遅い中间流と呼ぶことにする。IV層は常時地下水が流出している層で、雨水はこの層内の無数の水みち的亀裂に存在している。図において $q_1$ 、 $q_2$ 、 $q_3$ 、 $q_4$ は各層からの流出強度、 $r_1$ は林外降雨強度、 $r_2$ は林内降雨強度、 $f_1$ 、 $f_2$ 、 $f_3$ 、 $f_4$ は各層への浸透強度、 $L_1$ 、 $L_2$ 、 $L_3$ 、 $L_4$ は各層における初期損失量、 $L_T$ は降雨遮断量を表す。

### 4. 各流出場における初期損失量と流れの性質

4.1.(1) 表層における初期損失量  $L_T$ 、 $L_s$ ： Fig. 3は横軸に林外降雨量の積算値、縦軸に表層水の積算値をとった図である。表層水とは斜面上にドリキ板を挿入してその板上に集まる雨水を転倒瓶型雨量計で測ったものである。装置の性質上、この曲線の立ち上り点が降雨遮断の終了点を示し、両積算値が比例関係ではなくなる点が表層水の発生点を示す。従って図から  $L_T = 2 \text{ mm}$   $L_T + L_s = 4 \text{ mm}$  から  $L_s = 2 \text{ mm}$  となる。また图によると  $L_T$  が満たされた後は  $r' = r$  となる。

4.1.(2) 表層水の性質： 観測表層水は常に発生するものではなく、ある強度以上の降雨の場合に顕著に発生する。Fig. 4は横軸に降雨強度  $\text{mm}/\text{min}$ 、縦軸に表層水流出強度  $\text{mm}/\text{min}$  をとて、降雨強度が減少していく場合について描いたもので、図によれば降雨強度が  $0.06 \text{ mm}/\text{min}$  のときに表層水は急激に減少する。このことから表層水の発生降雨強度は  $0.06 \text{ mm}/\text{min}$  となる。<sup>3)</sup> 前の結果から表層水への有効降雨 Yes は 30 分強度で表わすと  $Yes = (r' - 1.8) \times 0.05 \text{ mm}/30 \text{ min}$  となる。30分強度で表わしたのは斜面上流端から下流端までの伝播時間が30分であることにによる。また一定率 5% の意味は次のようと考えられる。表層水は表層全域に発生するものではなく、ある限られた部分に発生するものと推定され、水みち流出的性格をもつものと考えられる。水みちではあるがやはり少しも固定的なものではなく、浸透とが浸出とかの周囲の影響を強く受けたため、流域全体でみると結果的にはダルシー則で近似できることと見ていいものと思われる。この斜面上流端から下流端まで連続した水みちの面積が全体の面積の 5% である。

4.2.(1) I層(早い中间流発生層)における初期損失量  $L_I$ ： Fig. 5は前報告において示した降雨終了後の時刻とその時の蒸発散強度の関係である。前報告では降雨量から流出総量を引いた量をすべて蒸発散量と考えてこの図を示したわけであるが、実際はこの中には他流域への leakage も含ま

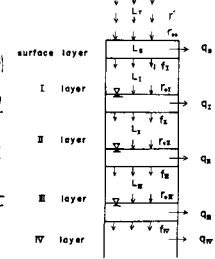


Fig. 2. 流出モデル

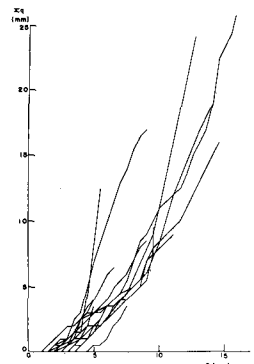


Fig. 3. 降雨量と表層水流出量との関係

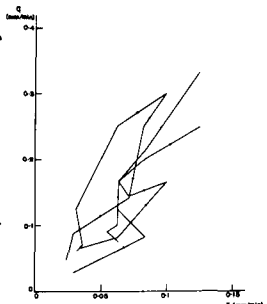


Fig. 4. 降雨強度と表層水流出強度との関係

れていらざはずである。そこでわれわれは土中の初期損失量を、流域が leakage で失った水の量と流域が毛管飽和の状態からそれまでに蒸発散による失った水の量との和であると仮定し、Fig. 5 を横今することによってその時の初期損失量を求めることにした。

Fig. 6 はこの結果を、横軸に降雨終了後日の数、縦軸に初期損失量をとって示したものである。ところで工湿不足の領域はまず土層の最上部に現われるから、Fig. 6 に示した初期損失量はあくまでも工層のみに關係した量であるはずである。地表下 5 cm の位置の電気抵抗値の変化からこの期間を降雨終了後 6.5 日とした。したがって工層の最大初期損失量は 35.1 mm となる。

4.2.(2) 早い中间流への有効降雨  $re_I$ ： 工層への浸透強度  $f_I$  は物理的には上限をもつが、実際に経験する降雨強度よりはるかに大きな値をもつ。従って  $f_I = r - re_{I}$  となる。この  $f_I$  の積分値がその時の  $L_I$  と等しくなる時から  $re_I = f_I - f_{II}$  となる。 $f_{II}$  については後で述べる。

4.3.(1) II、III 層(遅い中间流発生層)における初期損失量  $L_{II}$ 、 $L_{III}$ ： 工層からの蒸発散などによる水分の損失が終了すると II 層からの水分の損失が始まり、あくまでもこの二つの損失の積分値が次の降雨に対する II 層内における初期損失量  $L_{II}$  を与える。降雨終了後 6.5 日から 10.5 日までの間が II 層に關係しているとすると、II 層内の最大初期損失量は 10 mm となる。10.5 日以後 13 日までは III 層に關係しているとすれば、III 層内の最大初期損失量は 4 mm となる。降雨終了後 13 日からは、I、II、III 層についてこれは初期損失量の変化はないものとする。

4.3.(2) II、III 層への浸透強度  $f_{II}$ 、 $f_{III}$  と有効降雨  $re_{II}$ 、 $re_{III}$ ： まず  $f_{II}$  について考える。 $f_{II}$  は土壤含水比と密接な關係があり、含水比が氣乾状態  $m_d$  の時は最大の浸透強度  $f_{II0}$  となり、含水比が完全飽和状態  $m_s$  の時は最終浸透強度  $f_{IIc}$  となる。また一般には浸透強度は Horton の式に従うがこの式の決定には多くのデータを必要とする。そこで、便宜上毛管飽和状態  $m_c$  での最終浸透強度  $f_{IIc}$  には  $f_{II0}$  と仮定して、 $f_{II}$  と時間との關係を示したのが Fig. 7 である。すなわち  $L_{II}$  を満たし毛管飽和の状態とは、たとえ  $f_{II}$  は  $f_{IIc}$  とすれどおり、その間は時間に比例して減少すると仮定しているわけである。この仮定を初期浸透強度  $f_{II0}$  の回復にも適用したものを図示したのが Fig. 8 である。 $f_{II0}$  の実際の値は、表層水の発生限界が 3.6 mm/hr であることから、この値を 1 つの目安として採用した。また  $f_{IIc}$  は観測地下水の定常状態の最大流出強度が 70 l/hr であることからこれを流域全体に換算すると 0.35 mm hr となる。ついで  $f_{IIIc}$  については観測地下水の一級目と二級目の定常値の差が 20 l hr であり、流域全体に換算すれば  $f_{IIIc} - f_{IIc} = 0.1 \text{ mm hr}$  となるから、 $f_{IIIc} = 0.25 \text{ mm hr}$  となる。また  $f_{II}$  は  $f_{IIc}$  と  $f_{IIIc}$  との差が小さいことから、その変化を考えることはあまり必要でなく、常に  $f_{II} = f_{IIIc}$  としてもよい。II 層内の流れへの有効降雨  $re_{II}$  は  $f_{II}$  によって  $L_{II}$  が満たされた時から  $re_{II} = f_{IIc} - f_{II} = f_{IIc} - f_{IIIc} = 0.1 \text{ mm hr}$  となる。 $re_{III}$  は観測地下水の一級目の定常値 (50 l hr) と IV 層からの水の流出には、左時の流出強度 (30 l hr) との差から 0.1 mm hr となる。また  $re_{III} = f_{IIIc} - f_{IV}$  の關係から  $f_{IV} = 0.15 \text{ mm hr}$

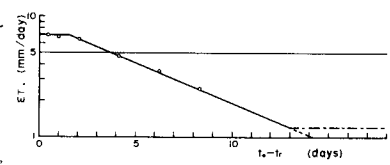


Fig. 5. 降雨終了後日数と蒸発散強度への關係

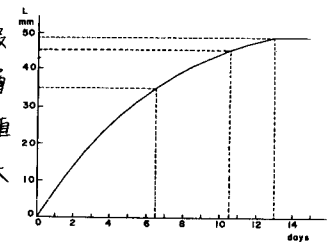


Fig. 6. 降雨終了後日数と初期損失量との關係

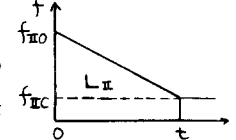


Fig. 7.  $f_{II}$  ～  $t$  関係

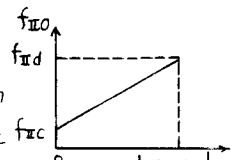


Fig. 8.  $f_{II0}$  ～  $L$  関係

である。

4.4. I, II, III層内の流れの伝播速度：観測地下水は観測点において降雨開始後35時間で定常値に達するとして、伝播速度を求めると  $\lambda \cdot \sin \theta / \gamma = 0.023 \text{ cm/sec}$  となり、これはII、III層について等しいとする。 $\sin \theta = 0.64$ 、すなば下60cmの実測の値0.4(但しこれは全空隙率)とすれば  $\lambda = 0.014 \text{ cm/sec}$  となる。いま透水係数はその土壤の10%粒径の二乗に比例するとして、I層の透水係数を求めると  $(0.04)^2 / (0.025)^2 = 0.035 \text{ cm/sec}$  となる。したがってI層の  $\lambda = 0.55$  (地表下20cmの実測値で全空隙率)とすれば、早い中间流の伝播速度は  $0.041 \text{ cm/sec}$  となる。

## 5. 計算結果とその考察

4.で得られた結果とともに、河道降雨、表層水、早い中间流、遅い中间流の流出強度を特性曲線法を用いて計算した。流域は60mの斜面を両側にもつ長さ1.5kmの矩形流域とし、10分単位で計算を行なった。Fig. 9 (a)(b)(c)(d)(e)(f) は1971年7月17日から24日までの降雨に対するこれらの計算結果を示すもので、実線は実測流量、破線は各流出成分の計算値の和に初期流量を加えた計算流量を表わす。計算値と実測値を比較すると、(a)の場合はピークの値とその生起時刻がずれており、また計算上中间流へ発生しない(b)(c)図において、つい漏部で計算流量が実測流量より小さくなっている。このことは表層水の発生、流下機構を一定にしたことに、河道における流速も一定としたことに原因がある。つまり(e)図のように流域が湿润な時に大きな降雨があると、計算上非常に大きな中间流出成分を与えることになる。(f)は(e)図の中間流の影響がまだ残っている。これについての原因は次の二点が考えられる。1)  $f_{IIc}$ ,  $f_{IIIc}$ ,  $f_{IV}$  の値を小さく見積りすぎ、2) 毛管飽和状態のときに  $f = f_c$  としたこと、3) 初期損失量を求める場合、これまでの飽和散量と leakage を区別しないでまとめて評価したこと、4) 伝播速度を小さく見積りすぎ、などである。また1971年8月30日～31日の降雨(施降雨量180mm)について計算してみると、(e)図よりもさらに大きな実測値との差を与える。実測値の水收支と比較してみると25mmの有効降雨を与えていいことがわかる。(IV層からの流出計算はしていないが、 $f_{IV}$  すべてで流出するとして比較した)。大きな計算上の中间流を与える原因是前述の4項に原因があると思われるが、全体として有効降雨が多すぎることについては、前述の4項のうち特に3)が重要な意味をもってくることと、将来IV層からの流出計算を行なう場合、その初期損失量がかなり大きくなることが予想される。以上、確定した流出モデルで流出計算を行なったが、まだ満足すべき結果を得ておらず、前述の4項とIV層からの流出機構については目下検討中である。また、遅い中间流発生層を二つに分けたが、これは計算を簡便にし、しかも一般性を失うだけであるから、单層として計算してよいように思う。参考文献(1, 4), 芦川試験地における雨水について 石原・小栗竹, 第26回年次講演会, 2.37, 山地流域における直接流への生起過程, 石原・小栗竹, 高木研究年報第12号 昭44年

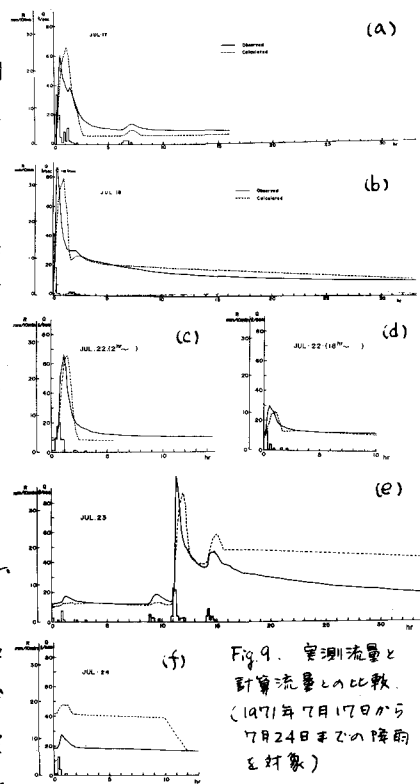


Fig. 9. 実測流量と  
計算流量との比較。  
(1971年7月17日から  
7月24日までの降雨  
を対象)